

UQÀM



*Fonds de recherche
Nature et
technologies*

Québec

BIF7002 – Hiver2017

CLASSIFICATION DES SÉQUENCES GÉNOMIQUES VIRALES PAR UNE APPROCHE D'APPRENTISSAGE AUTOMATIQUE

Mohamed Amine Remita

Université du Québec à Montréal

M.A. Remita, A. Halioui, A.A.M. Diouara, B. Daigle, G. Kiani et A. B. Diallo. A machine learning approach for viral genome classification. *BMC Bioinformatics* (sous presse)

Plan

UQÀM

- Motivation et problématique
- Apprentissage automatique
- Méthode
 - ▣ Ensembles de données, attributs et algorithmes
- Résultats
- CASTOR – plateforme web
- Conclusion et perspectives



Introduction

Motivation - problématique

UQÀM

Introduction

Méthode

Résultats

Conclusion

- Étant donné une séquence génomique (partielle ou complète) d'un virus nouvellement séquencée ou extraite à partir d'une base de données :
- peut-on identifier le type du virus ?
 - En utilisant ses caractéristiques génomiques
 - Sans refaire un alignement de séquences ni une phylogénie

Motivation - problématique

UQÀM

Introduction

Méthode

Résultats

Conclusion

□ Classifications - typages

- **Classification taxonomique**
- Classification géographique
- Classification par pouvoir pathogène

Motivation - travaux associés

- Méthodes basées sur l'alignement de séquences
 - NCBI Pairwise Sequence Comparison (PASC) (*Bao et al.* 2015)
 - Diversity partitioning by hierarchical clustering (DEmARC) (*Lauber et Gorbalenya* 2012)
 - BLAST (*Altschul et al.* 1997)
- Méthodes basées sur une phylogénie
 - REGA (*Alcantara et al.*, 2009; *de Oliveira et al.*, 2005)
 - Pplacer (*Matsen et al.* 2010)
- Méthodes indépendantes de l'alignement de séquences
 - COMET (*Struck et al.* 2014)
 - Natural vector based on the distributions of nucleotides (*Deng et al.* 2011)

Motivation

UQÀM

Introduction

Méthode

Résultats

Conclusion

□ Application

- Efficace et rapide
- Automatique
- Réutilisable et reproductible
- Accessibilité

Apprentissage automatique

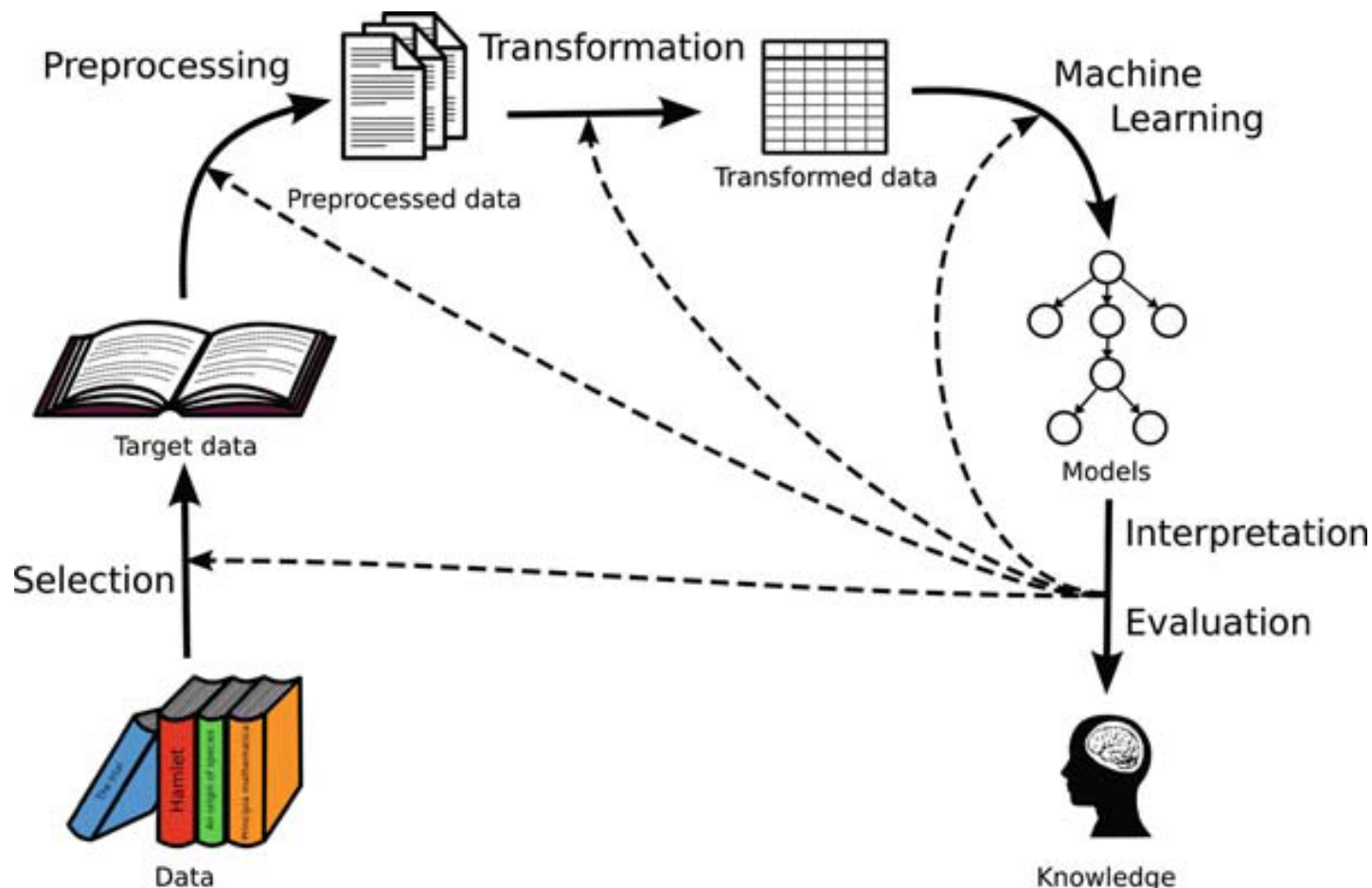
UQÀM

Introduction

Méthode

Résultats

Conclusion



The general chain of work of a common data mining task (Inaki Inza et al. 2010)

Apprentissage automatique

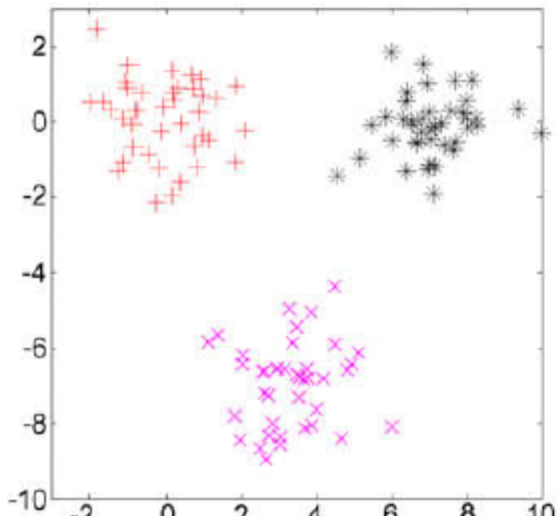
UQÀM

Introduction

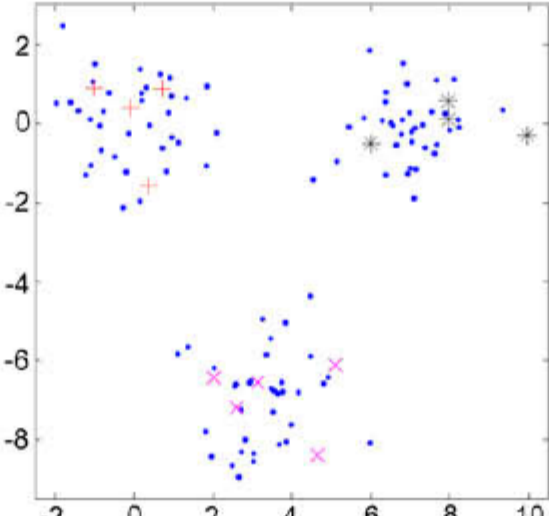
Méthode

Résultats

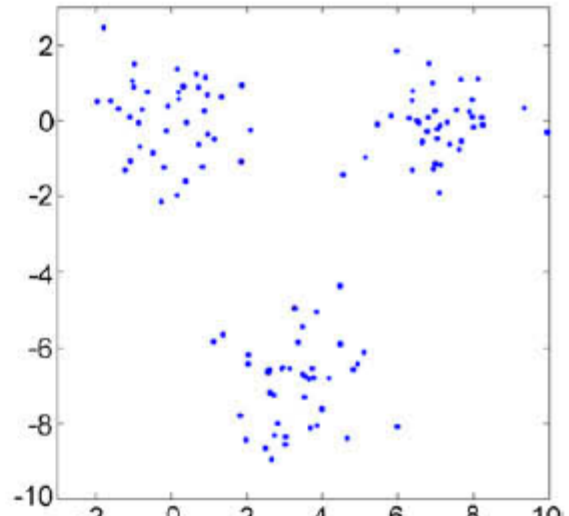
Conclusion



(a) Supervised



(b) Partially labelled



(c) Unsupervised

Jain A.K (2010)

- Apprentissage supervisé (Classification et régression)
 - ▣ Arbre de décision, SVM, KNN, bayésiens, réseaux de neurone etc.
- Apprentissage non supervisé (Clustering)
 - ▣ Partitionnements K-means
 - ▣ Partitionnements hiérarchiques, basés sur la densité, des graphes etc.



Méthode

Les étapes de la classification

1. Construire des **jeux de données** représentatifs
2. Déterminer un ensemble **d'attributs** (features) pertinents et non redondants
3. Identifier des **algorithmes d'apprentissage** adéquats et performants

Approche de classification

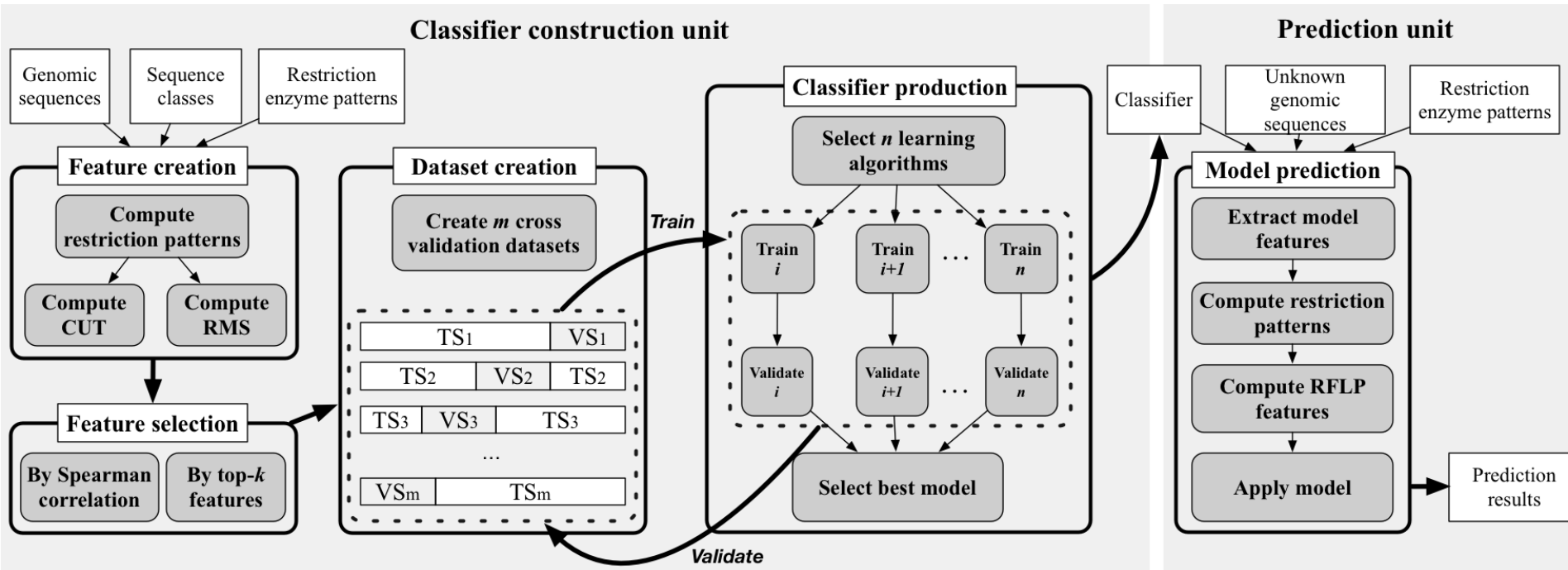
UQÀM

Introduction

Méthode

Résultats

Conclusion



1. Jeu de données

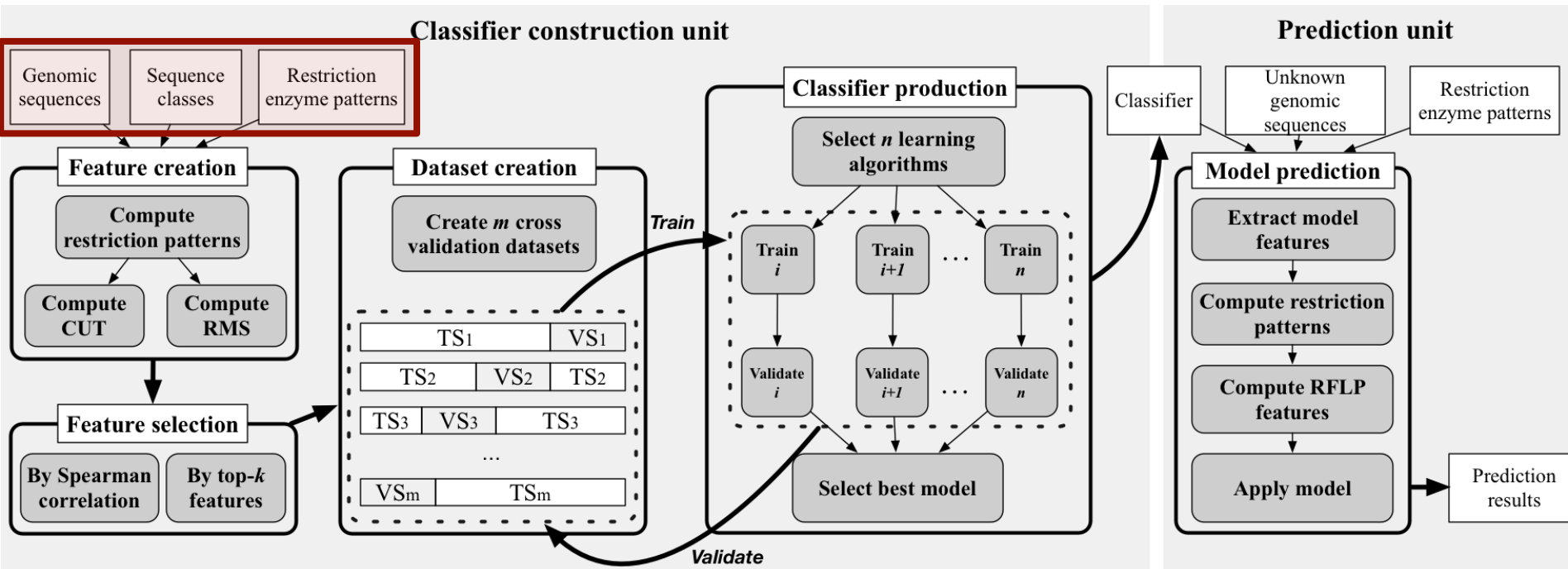
UQÀM

Introduction

Méthode

Résultats

Conclusion



1. Jeu de données

- Virus du papillome humain (VPH)
 - ADN double brin circulaire
 - ~ 8000 nt
- Virus de l'hépatite B (VHB)
 - ADN circulaire
 - Partiellement double brin
 - ~ 3200 nt
- Virus de l'immunodéficience humaine type 1 (VIH-1)
 - ARN simple brin en double exemplaire
 - ~ 9700 nt

1. Jeu de données

UQÀM

Introduction

Méthode

Résultats

Conclusion

□ Classification inter-genres des VPHs

Classe (genre)	nombre
Alphapapillomavirus	457
Bétapapillomavirus	48
Gammapapillomavirus	27
Mupapillomavirus	02
Nupapillomavirus	01

□ Classification inter-espèces des VPHs

Classe (espèce)	nombre	Classe (espèce)	nombre	Classe (espèce)	nombre	Classe (espèce)	nombre
AlphaPV 1	03	AlphaPV 5	04	AlphaPV 9	249	AlphaPV 14	07
AlphaPV 2	11	AlphaPV 6	34	AlphaPV 10	72	-	-
AlphaPV 3	11	AlphaPV 7	49	AlphaPV 11	02	-	-
AlphaPV 4	09	AlphaPV 8	04	AlphaPV 13	02	-	-

1. Jeu de données

□ Classification inter-génotype des VHBs

Classe (Génotype)	nombre
A	378
B	540
C	1085
D	825
E	228
F	129
G	29
H	21

1. Jeu de données

□ Classification des sous-types M du VIH-1

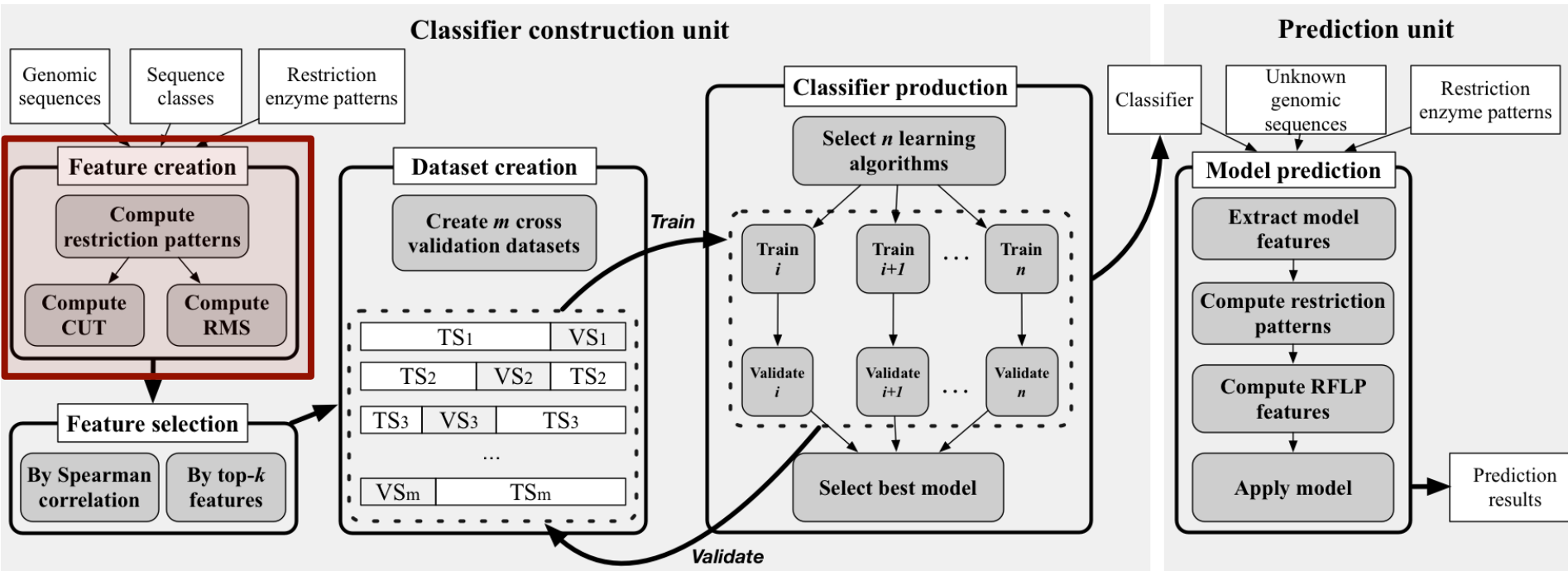
	Classe (sous-type)	nombre
PURS	A	314
	B	2113
	C	1065
	D	76
	F	55
	G	53
	H	4
	J	3
	K	2

	Classe (sous-type)	nombre
CRFs	01_AE	712
	02_AG	93
	07_BC	44
	08_BC	36
	35_AD	22
	42_BF	17
	22_01A1	16
	11_cpx	14
	14_BG	13

1. Jeu de données

- Source des données
 - NCBI Taxonomy
 - NCBI Nucleotide
 - NCBI RefSeq
 - Papillomavirus Episteme (PaVE)
 - Los Alamos HIV databases

2. Attributs



2. Attributs - RFLP

UQÀM

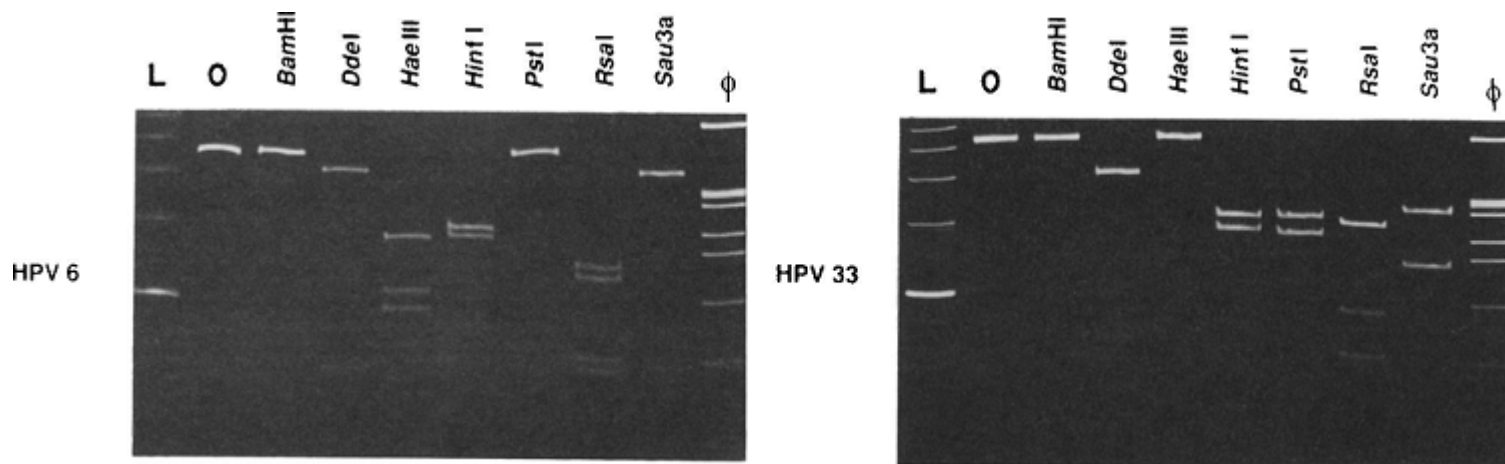
Introduction

Méthode

Résultats

Conclusion

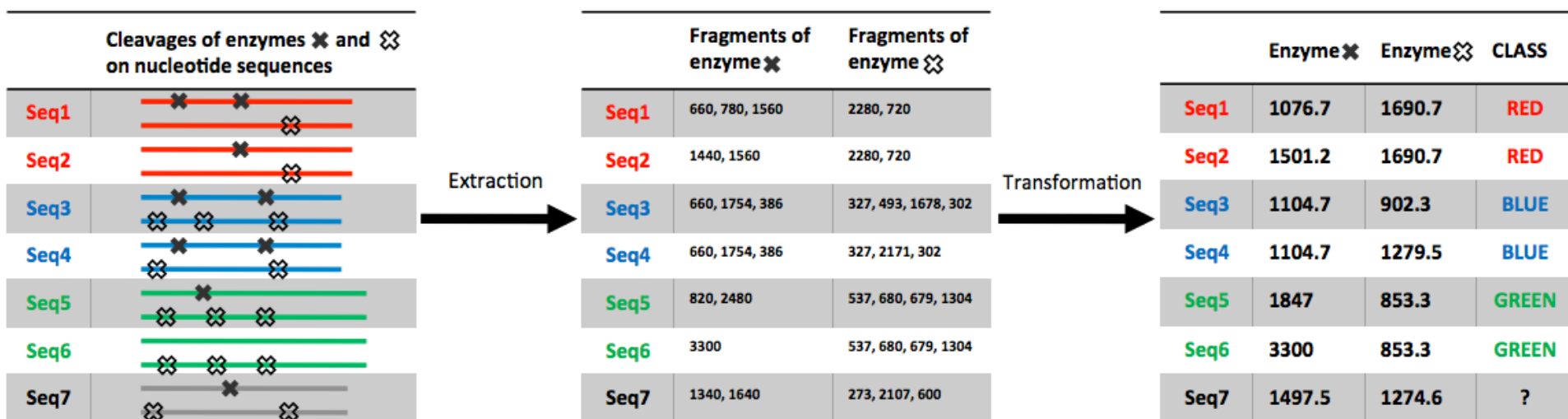
- Polymorphisme de longueur des fragments de restriction (RFLP)
- Technique de biologie moléculaire
- Coupure de l'ADN par des enzymes de restrictions
- Empreinte génétique



Motifs RFLP d'un segment de la séquence du L1 pour l'identification des VPH génitaux (Bernard, et al., 1994).

2. Attributs - RFLP

- Technique bioinformatique
- Restriction Enzyme dataBASE (REBASE)
 - 172 prototypes d'enzymes de type II



2. Attributs - métriques

- Attributs numériques
- Pour chaque couple virus – enzyme, on calcule
 - ▣ CUT : nombre de coupures (attributs entiers)
 - ▣ RMS : la moyenne quadratique des longueurs des fragments (attributs réels)

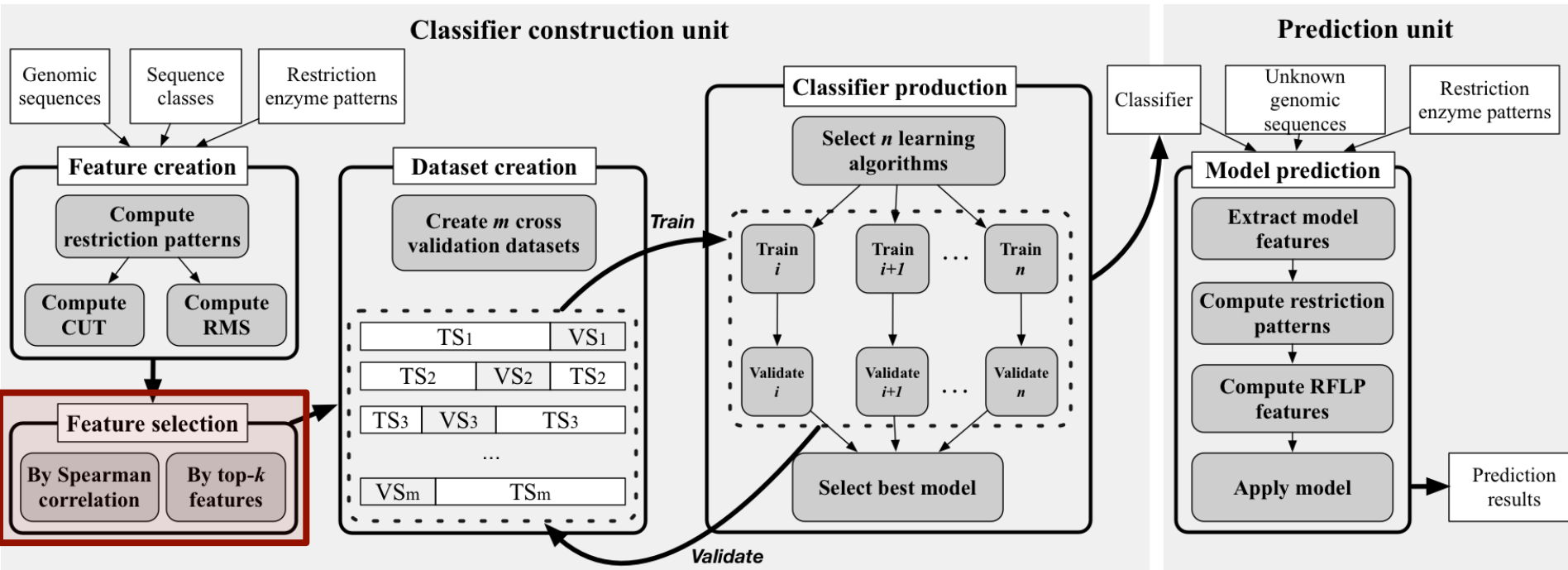
$$\bar{x} = \sqrt{\frac{1}{n} \sum_{i=1}^n x_i^2}$$

2. Attributs

□ Exemple de données d'apprentissage

ID	CUT_Accl	RMS_Accl	CUT_Acll	RMS_Acll	CUT_Acyl	RMS_Acyl	CUT_AflII	RMS_AflII	Class
X74483	5	1977,92	1	7844,00	3	2650,41	0	7844,00	PSV_PV
X77858	4	2645,70	3	3269,98	2	5423,81	2	3998,11	PSV_PV
X94164	5	2141,91	0	7988,00	7	1504,92	1	7988,00	PSV_PV
X94165	6	1866,19	4	2267,66	1	7700,00	1	7700,00	PSV_PV
Y15173	5	1748,69	2	4818,36	1	7537,00	0	7537,00	PSV_PV
Y15174	4	2182,74	1	7549,00	1	7549,00	1	7549,00	PSV_PV
Y15175	8	1227,69	2	3947,36	8	1456,80	2	5264,39	PSV_PV
NC_000852	254	1830,14	178	2718,91	177	2824,55	51	9170,54	NGV_PV
NC_000866	59	3783,18	64	3840,31	32	6939,67	27	7755,87	NGV_PV
NC_000867	1	10079,00	7	1949,85	7	1524,67	2	6809,43	NGV_PV
NC_000871	19	2230,87	16	2759,61	3	10656,71	4	10107,46	NGV_PV
NC_000872	22	2239,47	20	2822,73	6	8522,07	6	7608,48	NGV_PV
NC_000896	14	3942,09	15	3928,77	9	6618,34	12	4500,37	NGV_PV
NC_000898	101	2269,26	53	4339,03	124	2612,96	15	15151,01	NGV_PV

2. Attributs - Sélection



2. Attributs - Sélection

- *Pertinence : gain d'information*
 - *Information mutuelle entre un attribut et la classe*
 - *Information gain evaluator (avec Ranker search method)*
 - *Top-k*

- *Redondance : corrélation*
 - *Deux attributs corrélés sont redondants*
 - *Corrélation de Spearman (rho)*

2. Attributs - Sélection

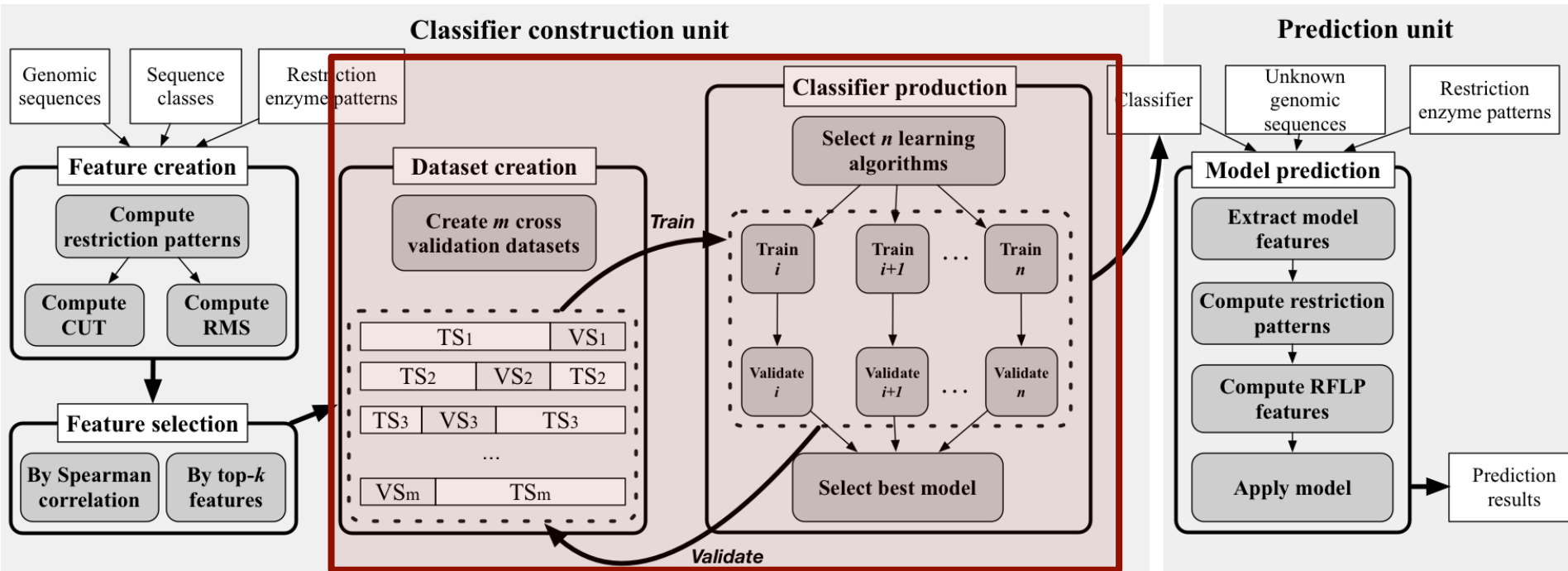
UQÀM

Introduction

Méthode

Résultats

Conclusion



3. Algorithmes d'apprentissage

UQÀM

Introduction

Méthode

Résultats

Conclusion

Algorithms	Weka modules
Arbres de décision	<code>weka.classifiers.trees.J48</code>
Random Forest	<code>weka.classifiers.trees.RandomForest</code>
Machines à vecteurs de support (SVM)	<code>weka.classifiers.functions.LibSVM</code>
KNN	<code>weka.classifiers.lazy.IBk</code>
Bagging	<code>weka.classifiers.meta.Bagging</code>
AdaBoost	<code>weka.classifiers.meta.AdaboostM1</code>
Naive Bayes	<code>weka.classifiers.bayes.NaiveBayes</code>

3. Algorithmes d'apprentissage

- La classification et l'évaluation sont effectuées avec la plateforme Weka (Waikato Environment for Knowledge Analysis)

- Les entraînements des modèles sont réalisés avec une validation croisée de 10 itérations

4. Évaluation – Cohésion des classes

- **Compacité (cohésion interne)** : *les objets appartenant à un cluster sont les plus similaires*
- **Séparabilité (isolation externe)** : *les objets appartenant aux autres clusters sont les plus distincts*

- **Indice de Silhouette** (Rousseeuw 1987) : $\text{indice} \in [-1, 1]$
- **Indice de cohésion** (Daigle et al. 2015) : $\text{indice} \in [0, 1]$

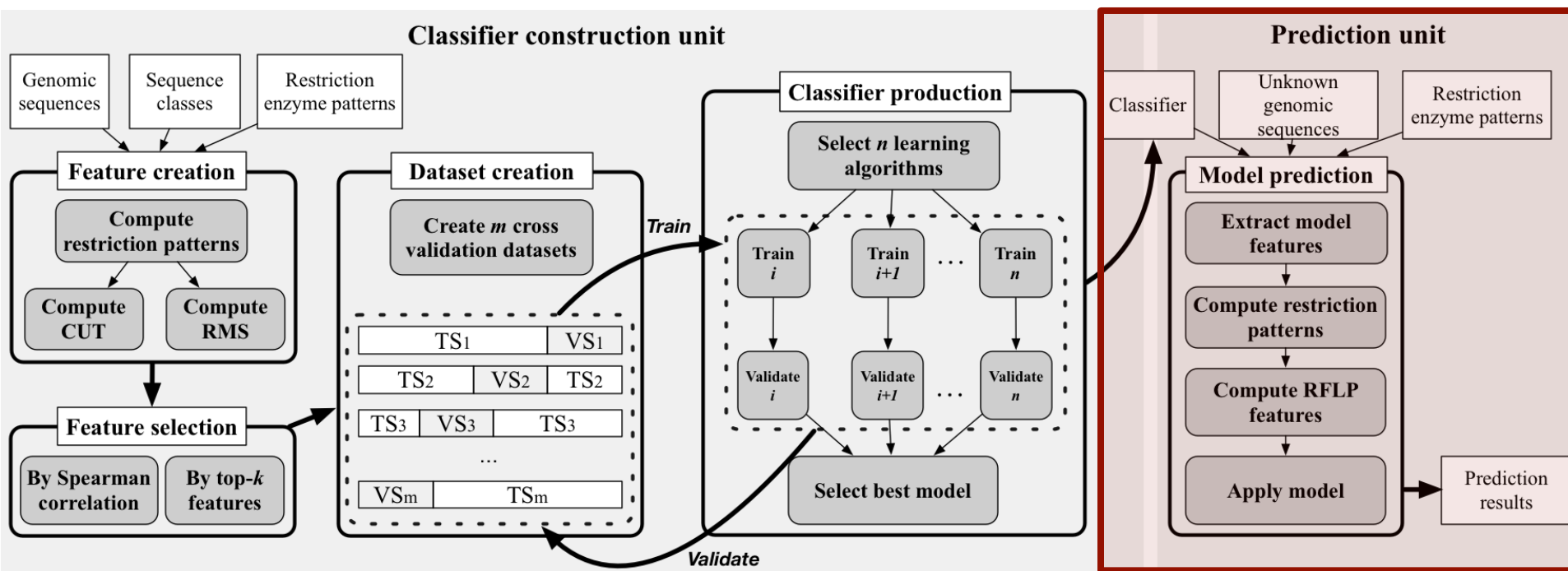
4. Évaluation – modèles d'apprentissage

		CLASSE RÉELLE		Mesure	Formule
CLASSE PRÉDITE		Condition positive	Condition négative	Taux de vrais positifs (rappel, sensibilité)	$TPR = R = \frac{TP}{TP + FN}$
	Condition positive	Vrais positifs (TP)	Faux positifs (FP)	Taux de faux positifs (FPR, 1 - spécificité)	$FPR = \frac{FP}{FP + TN}$
	Condition négative	Faux négatifs (FN)	Vrais négatifs (TN)	Précision	$P = \frac{TP}{TP + FP}$
				F-mesure	$f\text{-measure} = \frac{2 P \times R}{P + R}$

5. Simulations

- **Cinq jeux de données principaux de génomes viraux**
- **Pour chaque jeu de données :**
 - ▣ **Générer 10 échantillons (sans remise)**
 - ▣ **Pour chaque échantillon :**
 - **Construire des modèles avec validation croisée en combinant :**
 - **2 métriques d'attributs (CUT et RMS)**
 - **2 méthodes de sélection d'attributs (topAttributes et correlation)**
 - **7 algorithmes d'apprentissage (J48, SVM, ADA, etc.)**
 - **Au total 280 modèles**

Prédiction

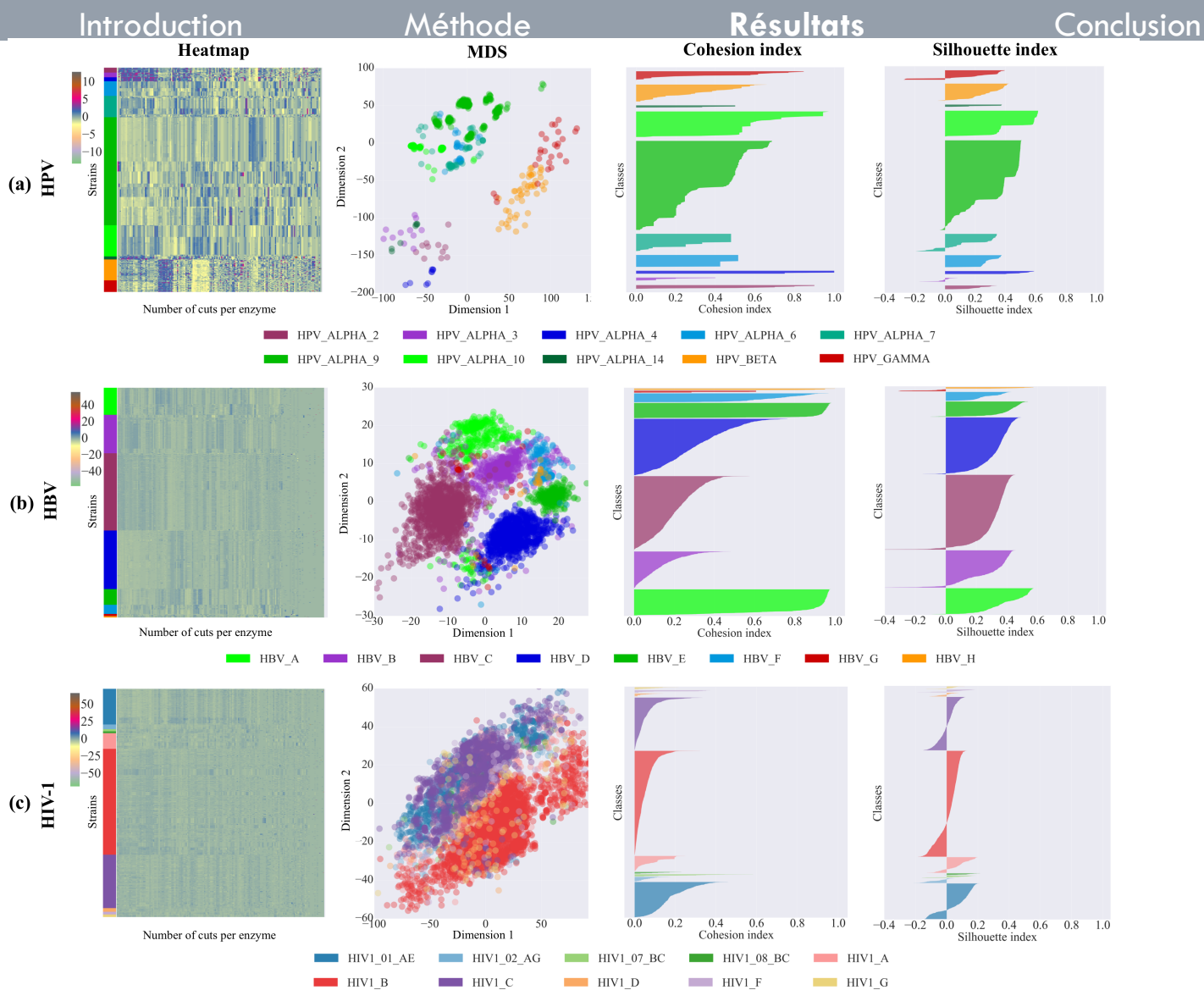




Résultats

Cohésion des classes

UQÀM



Simulation - comparaison des métriques

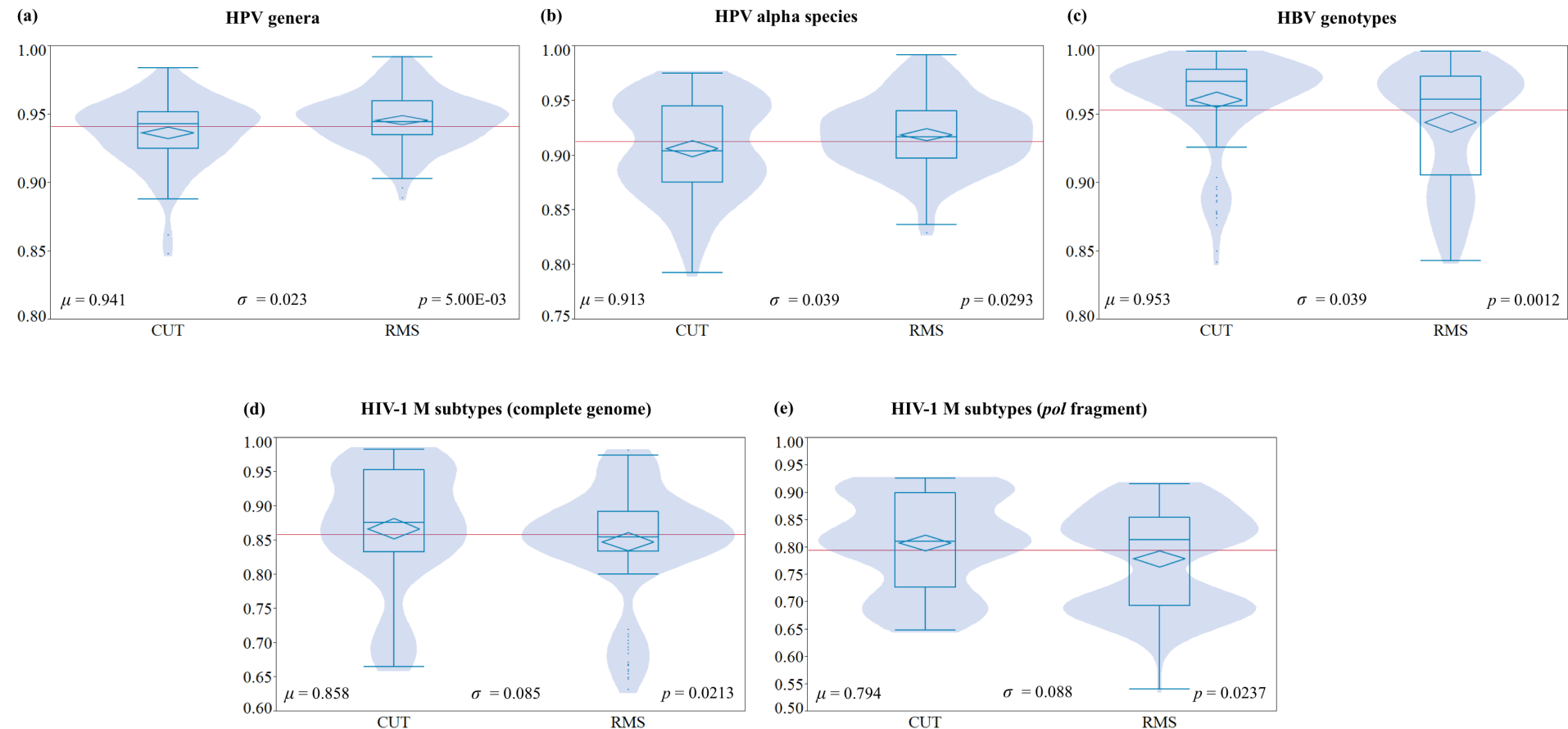
UQÀM

Introduction

Méthode

Résultats

Conclusion



Simulation - comparaison des méthodes de sélection d'attributs

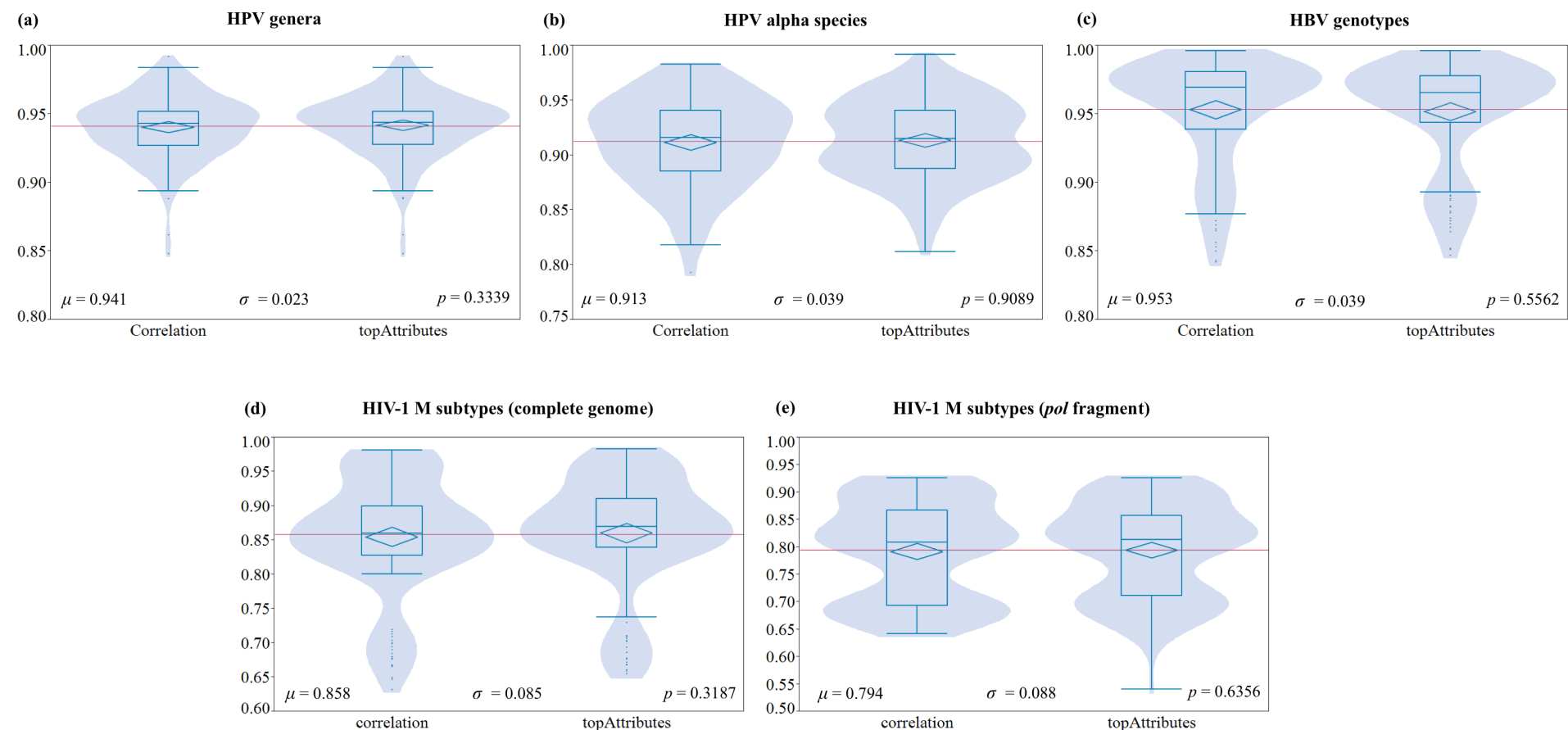
UQÀM

Introduction

Méthode

Résultats

Conclusion



Simulation - comparaison des algorithmes d'apprentissage

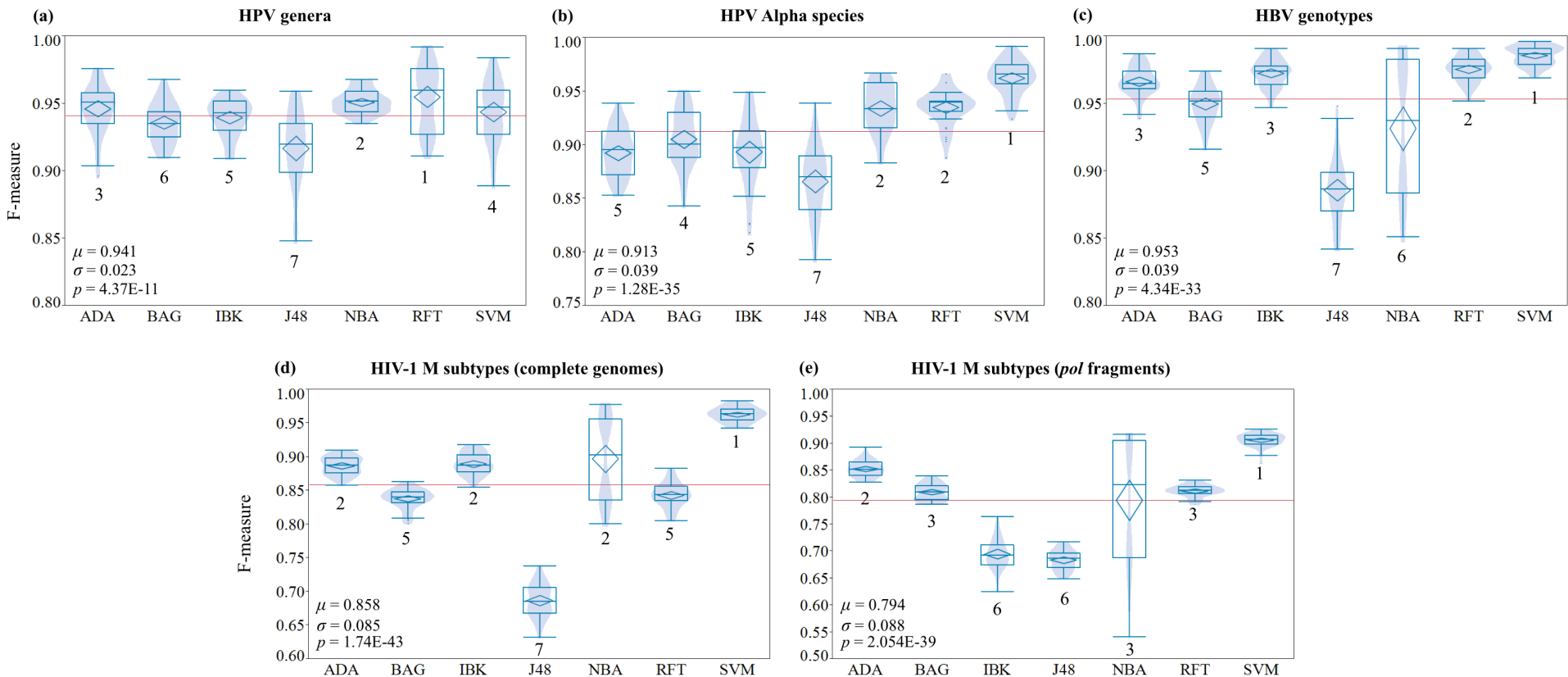
UQÀM

Introduction

Méthode

Résultats

Conclusion



Comparaison CASTOR avec REGA et COMET dans la classification de VIH

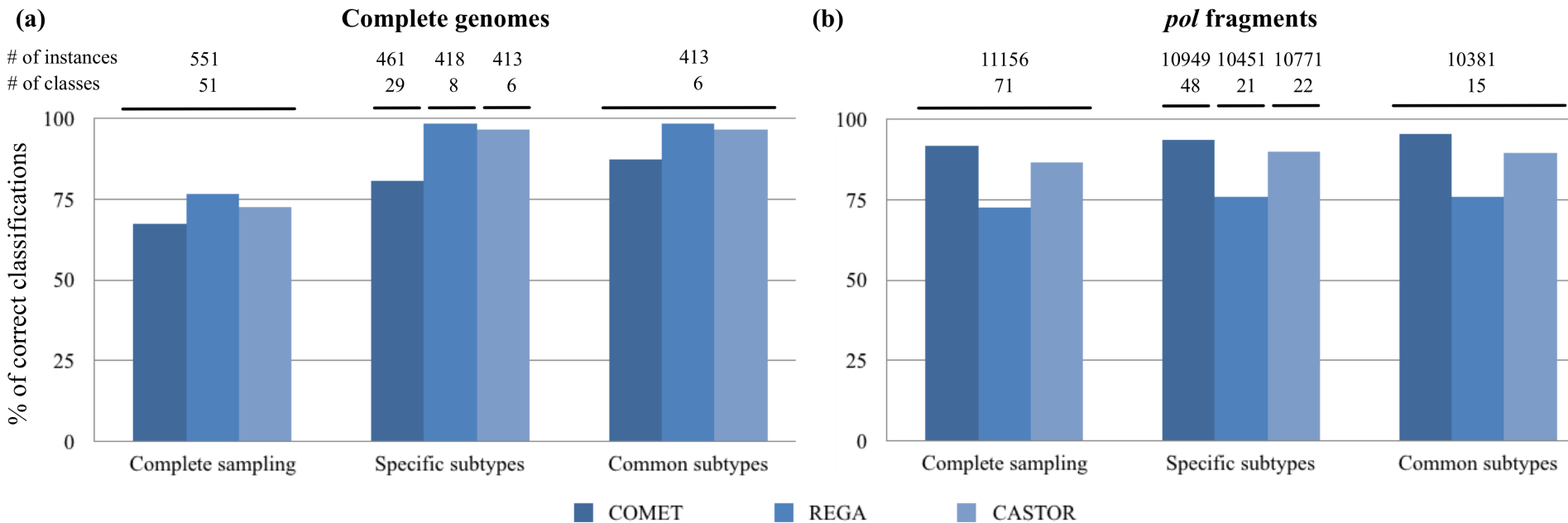
UQÀM

Introduction

Méthode

Résultats

Conclusion



Plateforme CASTOR

UQÀM

Introduction

Méthode

Résultats

Conclusion



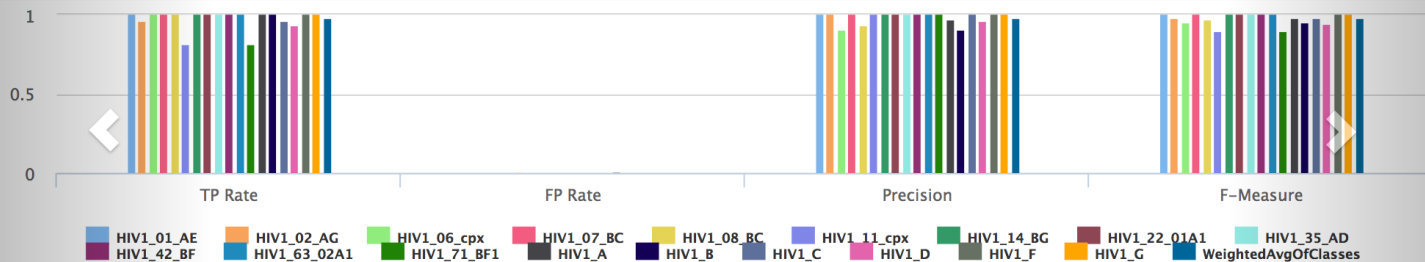
CASTOR Machine Learning Platform for the Classification of Nucleotide Sequences

Université du Québec à Montréal

| [Home](#) | [CASTOR-predict](#) | [CASTOR-build](#) | [CASTOR-optimize](#) | [CASTOR-database](#) | [Help](#) | [About](#)

Welcome to CASTOR web-platform 1.0. A powerful, dynamic and open access web-platform to exploit robust machine learning classifiers for the classification of sequences based on RFLP signatures. The platform allows the user to label nucleotide sequences and classify efficiently and quickly these sequences. With CASTOR, one can build and optimize its own classifiers. Users could also share and publish in CASTOR-database their models that will allow the reused of their tuned models as well as the access to their models for reproducible research.

Get Started with PMVHIVGC04 classifier



HIV-1 M Pure subtype and CRF classification using complete genomes.



CASTOR-predict

Predict nucleotide sequence classes using already build classifiers



CASTOR-database

A database of community-shared classifiers



CASTOR-build

Build your own predictor to classify sequences



CASTOR-optimize

Build improved classifiers

Perspectives

UQÀM

Introduction

Méthodes

Résultats

Conclusion

- Typage d'autres virus et organismes
- Identifier l'ensemble d'enzymes qui a un pouvoir discriminant pour un type de classification
- Autres types de classification
 - ▣ Géographique
 - ▣ Pouvoir pathogène

Références

- Alcantara, L. C. J., Cassol, S., Libin, P., Deforche, K., Pybus, O. G., Van Ranst, M., Galvo-Castro, B., Vandamme, A. M., and de Oliveira, T. (2009). A standardized framework for accurate, high-throughput genotyping of recombinant and nonrecombinant viral sequences. *Nucleic Acids Research*, 37(SUPPL. 2), 634–642.
- Altschul, S.F., Madden, T.L., Schaffer, a.a., Zhang, J., Zhang, Z., Miller, W., Lipman, D.J.: Gapped blast and psi-blast: a new generation of protein database search programs. *Nucleic Acids Research* 25(17), 3389–402 (1997)
- Bao, Y., Chetvernin, V., & Tatusova, T. 2014. Improvements to pairwise sequence comparison (PASC): a genome-based web tool for virus classification. *Archives of virology*, 159(12), 3293-3304.
- Bernard, H. et al., 2010 . Classification of papillomaviruses (PVs) based on 189 PV types and proposal of taxonomic amendments. *Virology*, 401(1), pp. 70-9.
- Deng, M., Yu, C., Liang, Q., He, R. L., & Yau, S. S. T. 2011. A novel method of characterizing genetic sequences: genome space with biological distance and applications. *PLoS one*, 6(3), e17293.
- Daigle, B., Makarenkov, V., Diallo, A.B.: Effect of hundreds sequenced genomes on the classification of human papillomaviruses. In: Data Science, Learning by Latent Structures, and Knowledge Discovery, pp. 309–318. Springer, ??? (2015)
- de Oliveira, T., Deforche, K., Cassol, S., Salminen, M., Paraskevis, D., Seebregts, C., Snoeck, J., van Rensburg, E. J., Wensing, A. M. J., van de Vijver, D. A., Boucher, C. A., Camacho, R., and Vandamme, A. M. (2005). An automated genotyping system for analysis of HIV-1 and other microbial sequences. *Bioinformatics*, 21(19), 3797–3800.
- de Villiers, E. et al., 2004. Classification of papillomaviruses. *Virology*, Volume 324.
- de Villiers, E. M. 2013. Cross-roads in the classification of papillomaviruses. *Virology*, 445(1), 2-10.

Références

- Hall, M. et al., 2009. The WEKA Data Mining Software: An Update. *SIGKDD Explorations*, 11(1).
- Lauber, C., & Gorbatenko, A. E. 2012. Partitioning the genetic diversity of a virus family: approach and evaluation through a case study of picornaviruses. *Journal of virology*, 86(7), 3890-3904.
- Matsen, F.a., Kodner, R.B., Armbrust, E.V.: pplacer: linear time maximum-likelihood and bayesian phylogenetic placement of sequences onto a fixed reference tree. *BMC Bioinformatics* 11(1), 538 (2010)
- Roberts, R., Vincze, T., Posfai, J. & Macelis, D., 2010 . REBASE--a database for DNA restriction and modification: enzymes, genes and genomes. *Nucleic Acids Res.*, 38(Database issue), pp. D234-6.
- Rousseeuw, P.J.: Silhouettes: A graphical aid to the interpretation and validation of cluster analysis. *Journal of Comp. and Applied Math.* 20(C), 53–65 (1987)
- Struck, D., Lawyer, G., Ternes, A.-M., Schmit, J.-C., Berco<-, D.P.: Comet: adaptive context-based modeling for ultrafast hiv-1 subtype identification. *Nucleic Acids Research* 42(18), 144 (2014)
- Santiago, E., Camacho, L., Junquera, M. & Vázquez, F., 2006 . Full HPV typing by a single restriction enzyme. *J Clin Virol*, 37(1), pp. 38-46.
- Zheng, Z. & Baker, C., 2006. Papillomavirus genome structure, expression, and post-transcriptional regulation. *Front Biosci*, Volume 11, pp. 2286-302.

Merci

UQÀM

